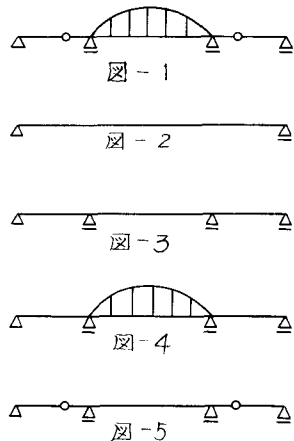


熊本大学 正会員 吉村虎藏
 同 学生員 〇有吉和夫
 熊本県庁 松原茂

図-1の形式のランガーゲルバー橋は中径間橋としてしばしば採用される形である。ここではこれをランガーゲルバー橋と呼ぶ。この形式の固有値の解析については、集中質量法による外は、特殊な解析法は見ないようである。したがて従来平井一男教授や筆者の一人吉村が提案した結合法による解析法をここで報告する。結合法で解くにあたっては、図-2～5等の構梁と関連して問題を取扱うのが一つの考え方であろう。このような観点からのランガーゲルバー橋の固有値の解析について主として述べ、他の一つの方法についてはここでは簡単な記述にとどめる。解析のための仮定は次の3点である。(1)析部は定断面である。(2)構造は左右対称である。(3)アーチは定断面かつ軸線は放物線である。



A. 理論

後の比較のために、解析の理解を容易にするために、まず図-3を、次に図-4を、最後に図-1の固有値の解析法について記す。図-5については注(2)においてすでに発表されている。

(1) 図-3の構造の固有値

これの振動数方程式を導くにあたっては図-6に示すように図-2の単純ばかりに、支点反力に代わって、 $P_1 \sin \omega t$, $P_2 \sin \omega t$ の集中周期力をかけ、中間支点でのたわみ $W=0$ という条件から振動数方程式が得られる。単純梁に集中周期力が働くときの運動方程式は周知のように

$$\ddot{w}_m + \omega_m^2 \cdot w_m = \sum_i \frac{1}{\omega_m^2 - \omega_i^2} \cdot \dot{w}_m(x=x_i) \cdot \dot{w}_m(x=x_i) \cdot P_i \sin \omega t \quad (1)$$

w_m 、 \dot{w}_m はそれぞれ単純梁の n 次の固有値と正規化モード、 w_m は n 次の振動によるたわみ、 x_i はたわみの測定点、 x_i は荷重点の座標。ゆえにこのときのたわみは

$$W = \sum_m \sum_i \frac{1}{\omega_m^2 - \omega_i^2} \cdot \dot{w}_m(x=x_i) \cdot \dot{w}_m(x=x_i) \cdot P_i \sin \omega t \quad (2)$$

(1). 対称振動の振動数方程式は式(2)において、 $n=1, 3, 5, \dots$ 、 $P_1=P_2$ 、

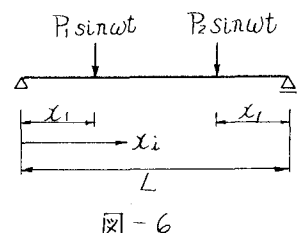
$W(x=x_i)=0$ を考慮すると得られる。すなわち

$$\sum_n \frac{1}{n^2 - \lambda^2} \cdot \sin^2 \left(n \pi \frac{x_i}{L} \right) = 0 \quad (3)$$

ここに、 $\lambda = \omega / \omega_1$ 、 $\omega_n = \left(\frac{n \pi}{L} \right)^2 \sqrt{\frac{E I}{P}}$ 。

(2). 遠対称振動の振動数方程式は、式(2)において、 $n=2, 4, 6, \dots$ 、 $W(x=x_i)=0$ 、 $P_1=-P_2$ を考慮する。結果は式(3)と同じであるが、それが奇数であるか、偶数であるかが異なる。

(3). 振動モードは、(1)(2)で求めた固有値を式(2)に代入すれば求まる。



(2) 図-4の構造の固有値

この固有値は、図-3の構造にアーチ部を結合することによって解くことが出来る。このとき注(1)のランガー橋における適合条件式をそのまま用いることが出来ないので、はじめにこのときの適合条件式について述べ、次にアーチの結合によって振動数方程式を導く。

(1) 適合条件式 対称振動のときは

$$\Delta H = \frac{16EfB}{\pi l^2} \cdot \frac{l}{L} \cdot \sum_m \frac{1}{n} \cdot A_m \cdot \cos \frac{n\pi x_1}{L} \quad (4)$$

ここに、 $B = A_a \cdot A_g / [A_a + A_g \{1 + 8 \cdot (\frac{l}{L})^2 + 19.2 \cdot (\frac{l}{L})^4\}]$ 、 ΔH は振動時のアーチの水平推力、記号は図-7を参照。

逆対称振動のときは $\Delta H = 0$ となり、アーチは働かないで、図-3の連続梁の逆対称振動と一致することになる。

(2) 対称振動時の振動数方程式

図-2の単純梁に、図-8(b)の集中周期力 $P_1 = P_2 = P$ と、図-8(a)の等分布周期力 p_g をかけたとき、中間支点でのたわみ $w(x=x_1)=0$ の条件と、切りはなしした図-8(c)のアーチに $p_a = \frac{8f}{l^2} \Delta H$ なる等分布周期力をかけたときのアーチのたわみと、アーチ下部の析のたわみが等しく、かつ自由振動しているときには $p_a + p_g = 0$ 、すなわち外力は働いていないという条件との2つから次の2式が得られる。

$$\begin{cases} A_{11} \cdot P + A_{12} \cdot p_g = 0 \\ A_{21} \cdot P + A_{22} \cdot p_g = 0 \end{cases} \quad (5)$$

P と p_g が同時にゼロでないときに式(5)が同時に成立するには次式が成立すべきである。

$$\begin{vmatrix} A_{11} & A_{12} \\ A_{21} & A_{22} \end{vmatrix} = 0 \quad (6)$$

これが振動数方程式となる。

(1) 逆対称振動時の振動数方程式

このときは $\Delta H = 0$ であるから式(3)と一致する。しかし $n=2, 4, 6, \dots$ 。

(2) 振動モードはたわみの式より得られ次式となる。

$$w(x_i) = \text{const} \times \left\{ \sum_m \frac{1}{n^4 \pi^4 - \omega^2} \cdot \sin \frac{n\pi x_1}{L} \cdot \sin \frac{n\pi x_i}{L} - K \cdot \sum_m \frac{1}{m(n^4 \pi^4 - \omega^2)} \cdot \cos \frac{n\pi x_1}{L} \cdot \sin \frac{n\pi x_i}{L} \right\} \quad (7)$$

ここに $K = p_g/P$ であって、固有値を式(5)の一つの式に代入して得られるとある。

(3) 図-1の構造の固有値

図-1の固有値を求めるには、(2)の両側径間にヒンジを挿入すればよい。これについては注(2)の方法を適用する。

(4) 対称振動の振動数方程式

図-9のとき、 $M_e = M_1 = M_4$ 、 $P = P_2 = P_3$ と構造の対称性を考慮して、任意点のたわみ式は

$$w(x_i) = \sum_m \frac{-2}{\omega_m^2 - \omega^2} \cdot \ddot{\psi}_m(x_1) \cdot \psi_m(x_i) \cdot M_e + \sum_m \frac{2}{\omega_m^2 - \omega^2} \cdot \dot{\psi}_m(x_2) \cdot \psi_m(x_i) \cdot P + \sum_m \frac{1}{\omega_m^2 - \omega^2} \cdot \left(\int_{x_2}^{x_3} \dot{\psi}_m(x) \cdot dx \right) \cdot \psi_m(x_i) \cdot p_g \quad (8)$$

ただし、 $n = 1, 3, 5, \dots$ 、 $M_e(t) = M(t) \cdot A X$ 。ここで収束をよくするために、 M_e と P の項を静的たわみ

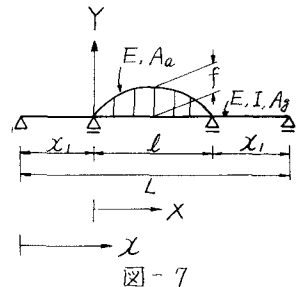


図-7

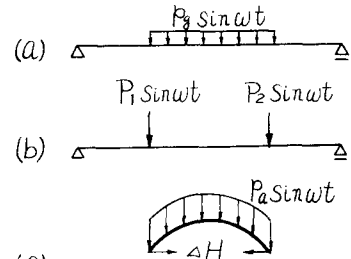


図-8

と動的たわみに分けると、結局次式となる。

$$\begin{aligned} W(x_i) &= \omega_s m - \sum \frac{2\omega^2}{\omega_n^2(\omega_n^2 - \omega^2)} \cdot \ddot{\Phi}_n(x_i) \cdot \bar{\Phi}_n(x_i) \cdot m \\ &+ \omega_{sp} + \sum \frac{2\omega^2}{\omega_n^2(\omega_n^2 - \omega^2)} \cdot \bar{\Phi}_n(x_2) \cdot \bar{\Phi}_n(x_2) \cdot P \\ &+ \sum \frac{1}{\omega_n^2 - \omega^2} \cdot (\int \bar{\Phi}_n(x) \cdot dx) \cdot \bar{\Phi}_n(x_i) \cdot p_g \quad (9) \end{aligned}$$

ここに $\omega_s m$ と ω_{sp} は静力学により求められる代数式で表される項である。式(9)において、支点変位 = 0 の条件を入れると

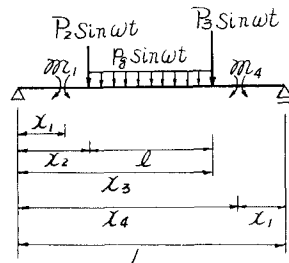


図-9

(10)

式(9)を2回微分して、ヒンジ点の曲げモーメント = 0 の条件を入れると

$$\begin{aligned} 2 \sum \frac{\omega^2}{\omega_n^2(\omega_n^2 - \omega^2)} \cdot \ddot{\Phi}_n(x_1) \cdot \ddot{\Phi}_n(x_1) \cdot m + \frac{P}{EI} \cdot x_1 - 2 \sum \frac{\omega^2}{\omega_n^2(\omega_n^2 - \omega^2)} \cdot \bar{\Phi}_n(x_2) \cdot \ddot{\Phi}_n(x_2) \cdot P \\ - \sum \frac{1}{\omega_n^2 - \omega^2} \cdot (\int \bar{\Phi}_n(x) \cdot dx) \cdot \bar{\Phi}_n(x_1) \cdot p_g = 0 \quad (11) \end{aligned}$$

さうに図-9 の析のたわみと切りはなしアーチ(図-8(c))のたわみを等置し、 $p_a + p_g = 0$ の条件より

$$\begin{aligned} \frac{512Ef^2B\pi}{9\pi L^5} \sum \frac{n}{\omega_n^2 - \omega^2} \cdot \sin \frac{n\pi x_1}{L} \cdot \cos \frac{n\pi x_2}{L} \cdot m + \frac{512Ef^2B}{9\pi L^5} \sum \frac{1}{n(\omega_n^2 - \omega^2)} \cdot \sin \frac{n\pi x_2}{L} \cdot \cos \frac{n\pi x_2}{L} \cdot P \\ + \left\{ \frac{512Ef^2BL}{9\pi L^5} \sum \frac{1}{n^2(\omega_n^2 - \omega^2)} \cdot \cos^2 \frac{n\pi x_2}{L} + 1 \right\} \cdot p_g = 0 \quad (12) \end{aligned}$$

式(10)、(11)、(12)の m 、 P 、 p_g に関する係数行列式 = 0 が振動数方程式となる。式(10)、(11)、(12)に固有値を入れて、 $m/P = K_1$ 、 $p_g/P = K_2$ とおくと K_1 、 K_2 が求まるので、これをたわみの式(9)に入れると各固有値に対応する振動モードが求まる。

(a) 逆対称振動数方程式

このときは $\Delta H = 0$ であるから、図-5のゲルバー梁のそれと同じである。⁽²⁾

B. 計算例

中央径間のランガ一部は戸崎橋の諸元を用い、側径間及びヒンジの位置を図-10に示す。戸崎橋の諸元は表-1。さうに図-3、図-4、図-1(図-10)の構造の対称振動の固有値を比較すると表-2のとおりである。また図-10の構造の対称振動モードを図-11に示す。

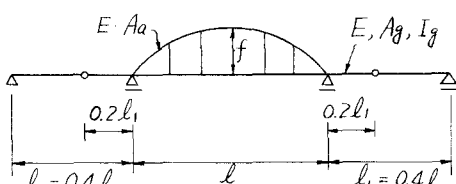


図-10

種類	記号	数値	種類	記号	数値
支間	l	$1.392 \times 10^4 \text{ cm}$	桁の断面二次モーメント	I	$6.232 \times 10^6 \text{ cm}^4$
挿筋の挿矢	f	$1.92 \times 10^3 \text{ cm}$	橋の全重量	$M = 8l$	$4.4217 \times 10^2 \text{ kg} \cdot \text{sec}^2 \cdot \text{cm}^{-1}$
補剛桁の断面積	A_g	562.35 cm^2	弹性係数	E	$2.1 \times 10^6 \text{ kg} \cdot \text{cm}^{-2}$
挿筋の断面積	A_u	345.40 cm^2			

表-1

C. 他の解析法

結合法による他の解析法の一つは次のとおりである。すなわち、図-1の構造をまず、3つの単純梁に分け、これにヒンジを挿入し、アーチを結合する。この方法によつて式をみつけ、同じ例題を解いて一致した結果を得ている。

結び

連続梁、連続梁の中央スパンに放物線アーチを付した構造、およびランガーゲルバー橋の固有値と固有モードを結合法によつて解く場合の式を誘導し、計算例を示した。理解を容易にするために固有値の比較のために(1),(2),(3)の段階に分けて記したが、ランガーゲルバー橋の固有値は、もちろん式(3)のみで解けるわけである。この例題の結果からは、アーチは1次振動数を高くすることにきわめて効果があり、2次より高次のものについては効果が期待できないことが知られる。

	3径間連続桁	3径間ランガー橋	ランガーゲルバー橋
ω_1	52.7	224.9	216.2
ω_3	232.8	243.3	239.6
ω_5	364.5	382.6	353.6
ω_7	799.4	800.4	613.6

表-2

$$x \sqrt{\frac{EI}{\rho L^4}}$$

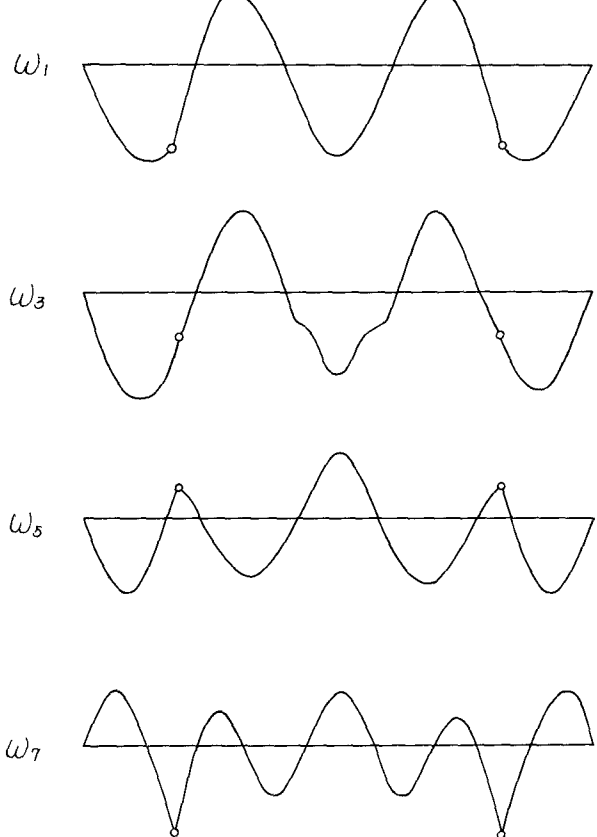


図-11

注(1) 吉村、平井； ランガーアーチ橋の動的解析 土木学会論文集101号

注(2) 平井、吉村； 結合法によるゲルバー系梁の動的解析

昭和43年10月 土木学会年次講演会